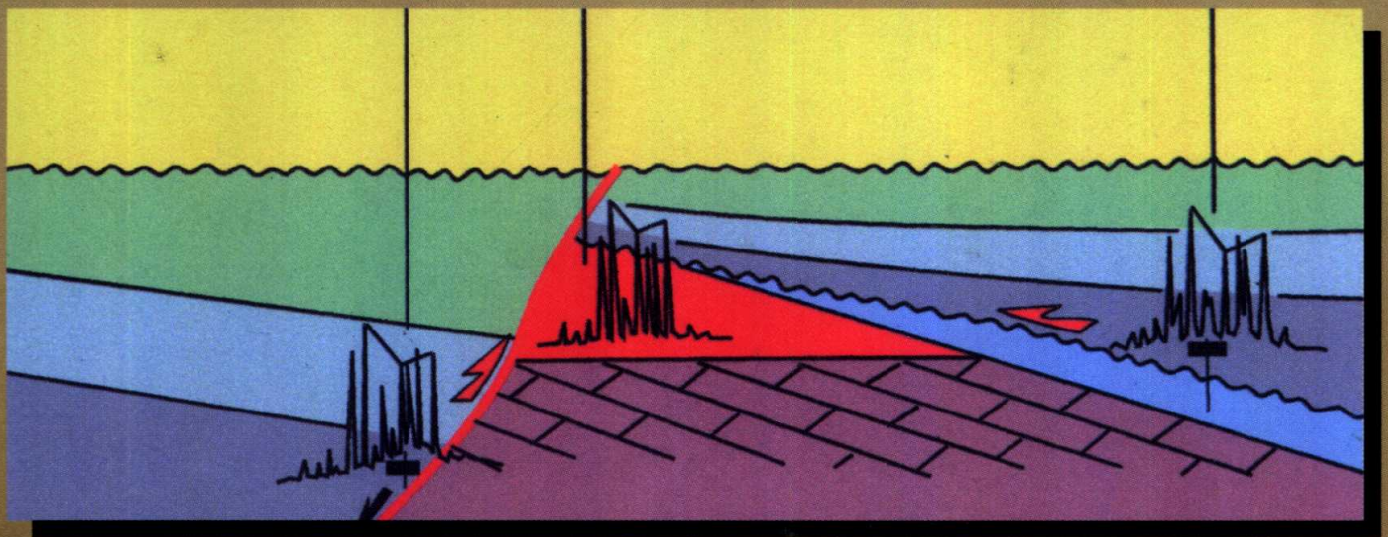


冀中拗陷 油气的生成

梁狄刚 曾宪章 王雪平 著
牟录文 罗 强 刘宝泉



石油工业出版社
PETROLEUM INDUSTRY PRESS

冀中坳陷油气的生成

梁狄刚 曾宪章 王雪平 著
牟录文 罗 强 刘宝泉

EA034/11

石油工业出版社

内 容 提 要

本书是作者在前华北石油管理局勘探开发研究院 1979~1984 年对冀中拗陷油气生成研究的成果。全书共分六章。第一、二章从原油地球化学特征入手,将冀中拗陷原油分作饶阳型、坝县型、晋县型三类,应用生物标志物进行了油源对比,论证了古潜山原油的新生古储;第三章通过建立典型生油地球化学剖面,研究了下第三系三套生油层的地化特征及分布,对比了不同类型生油凹陷的成油气条件;第四章综合运用沉积相、生物相、氧化还原相、不溶干酪根和可溶有机质、特别是生物标志物,将生油层划分为三类有机相,评价了生油凹陷,预测了生烃潜力和烃类性质;第五章研究了各凹陷、各套生油层的热演化特征,将冀中拗陷下第三系 II 型生油岩的成油门限划在温度 101℃—埋深 2800m,“石油窗”底界划在温度 178℃—埋深 5300m,研究了成熟、高成熟烃源层的分布、成油期、排烃期,并对传统的“液态石油死亡线”进行了讨论;第六章运用盆地模拟和沥青“A”法对冀中拗陷油气资源量进行了测算,预测了有利区带。同时书中对饶阳和廊固两个凹陷的勘探成效为什么明显不同,从地质、地球化学角度进行了分析。

本书可供石油地质、勘探工作者,科研人员及大专院校有关专业师生参考。

图书在版编目(CIP)数据

冀中拗陷油气的生成/梁狄刚等著.

北京:石油工业出版社,2001.5

ISBN 7-5021-3359-3

I. 冀…

II. 梁…

III. 拗陷-油田-石油生成-研究-河北省

IV. P618.130.2

中国版本图书馆 CIP 数据核字(2001)第 24086 号

石油工业出版社出版

(100011 北京安定门外安华里二区一号楼)

北京密云华都印刷厂排版印刷

新华书店北京发行所发行

*

787×1092 毫米 16 开本 15.25 印张 400 千字 印 1—500

2001 年 5 月北京第 1 版 2001 年 5 月北京第 1 次印刷

ISBN 7-5021-3359-3/TE·2518

定价:40.00 元

前 言

一

冀中拗陷是我国第一个以古潜山油气藏为主要类型的含油气盆地。陆相下第三系生油，海相中上元古界、下古生界碳酸盐岩储油——“新生古储”，这是冀中古潜山油气藏的重要特色。近年来进一步探明：陆相第三系本身也蕴藏着丰富的油气资源。此外，中生界下白垩系湖沼相泥岩、上古生界石炭系煤系和中上元古界一下古生界碳酸盐岩本身，也是三套潜在的烃源层。

拗陷西临太行山，东界沧县隆起，北至燕山褶皱带，南至邢衡隆起，呈北北东向延长，面积 30260km²。它是一个华北地台解体之后形成的中、新生代断陷盆地，下第三系沉积厚达 3000~9000m。拗陷中共有 12 个沉积凹陷，面积 19870km²。它们分别组成东、西两个凹陷带。东部带自北而南是：大厂、廊坊—固安、武清、坝县、饶阳、深县和束鹿凹陷；西部带是北京、徐水、保定、石家庄和晋县凹陷；中间为雁列式的大兴、容城、高阳、刘村—深泽和宁晋中央凸起带所分隔，呈现出多隆多凹的构造格局（见图 1）。

1975 年 7 月任丘古潜山油田发现后，冀中拗陷开始大规模油气勘探。到 1999 年底，共探明 43 个油气田，其中古潜山油气田 16 个，第三系油气田 27 个；探明石油地质储量 9.03 × 10⁸t，天然气地质储量 466.23 × 10⁸m³（含溶解气），其中古潜山油气储量占 62%，第三系占 38%。任丘古潜山一个油田占全冀中探明储量的 45%。已知油气藏的分布特点是：第一，几乎全部集中在东部凹陷带，西部带尚未有重大突破；第二，含油气层位多，从太古界、中元古界常州沟组到上第三系明化镇组，共有 24 个组段含油；第三，潜山油气藏比较集中，第三系油气藏则在整个东部凹陷带从南到北都有分布；第四，北部和南部气多油轻，中部气少油重。

二

本书是作者 1979~1983 年在华北油田勘探开发研究院的研究成果，写成于 1984 年，1987 年获国家科技进步三等奖及河北省科技进步一等奖；当时没有公开出版，是作者考虑到作为一项应用基础研究成果，其观点正确与否，不是马上看得出来的，应当回到勘探实践中去接受检验。

16 年过去了。现在公开出版本书，一是冀中拗陷 16 年的勘探证明：书中的主要观点经受了时间与实践的检验，基本上是符合实际的，因此这次出版，对原稿几乎未作改动；二是读者可以根据十几年来新鲜资料，反过来看看本书有哪些不足，哪些还可进一步深化；三是便于国内外同行引用。

冀中油气勘探的实践是检验本书的最好标准。例如，本书的一个突出观点，是对比了饶阳与廊坊—固安两个凹陷的成烃条件，结论是：渤海湾盆地早第三纪湖水最深、暗色泥岩最厚（5000m 以上）的廊固凹陷，因为中期多次抬升，下第三系生油层“好的（E_{S3} 段）没有熟透，熟透了的（E_{S4}—E_k 组）不好”，成油条件远不如继承性的饶阳凹陷。这在当时是要

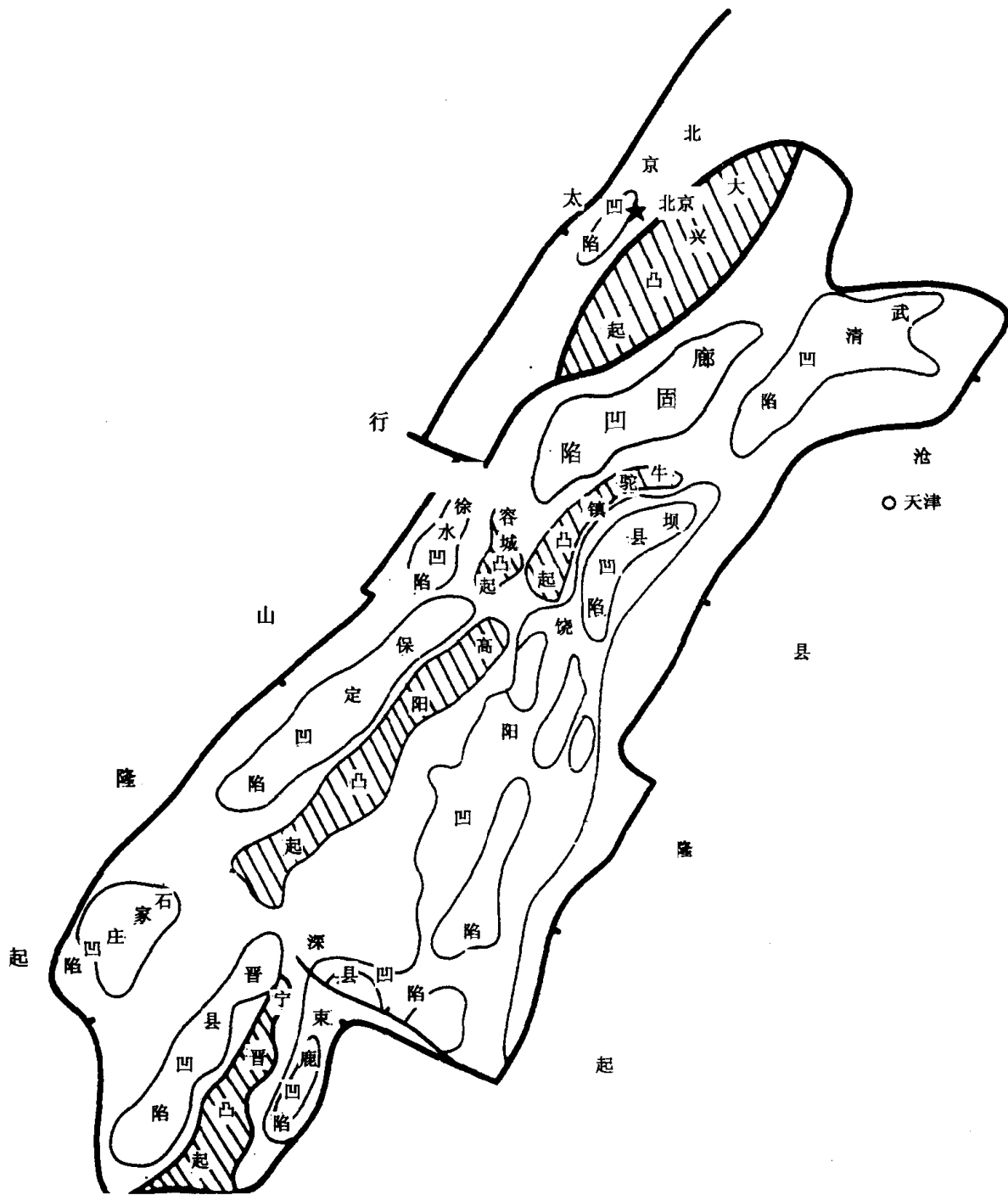


图1 冀中沉积凹陷分布略图

有一点理论勇气的。现在，经过35年的勘探，打了512口各类探井，廊坊凹陷累计探明的石油地质储量不过 $0.71 \times 10^8 \text{t}$ ，仅占全冀中的7.9%；而饶阳凹陷则占64%。从本书写成的1984年到现在的16年间，冀中坳陷新增石油地质储量 $3.09 \times 10^8 \text{t}$ ，其中廊坊凹陷只有 $0.36 \times 10^8 \text{t}$ ，仅占11.7%（还有 $91 \times 10^8 \text{m}^3$ 天然气），而饶阳凹陷则新增 $1.27 \times 10^8 \text{t}$ ，占41.1%，是廊坊凹陷新增储量的3.53倍。

又如，书中预测，在冀中生油凹陷平均地温梯度为 $3.1^\circ\text{C}/100\text{m}$ 的条件下，“液态石油窗”的底界温度高达 178°C ，埋深可达5300m；这就将传统的“液态石油死亡线”（温度 150°C ，在冀中，相应埋深为4200m）大大向下扩深了1100m。本书稿写成不久，1985年果

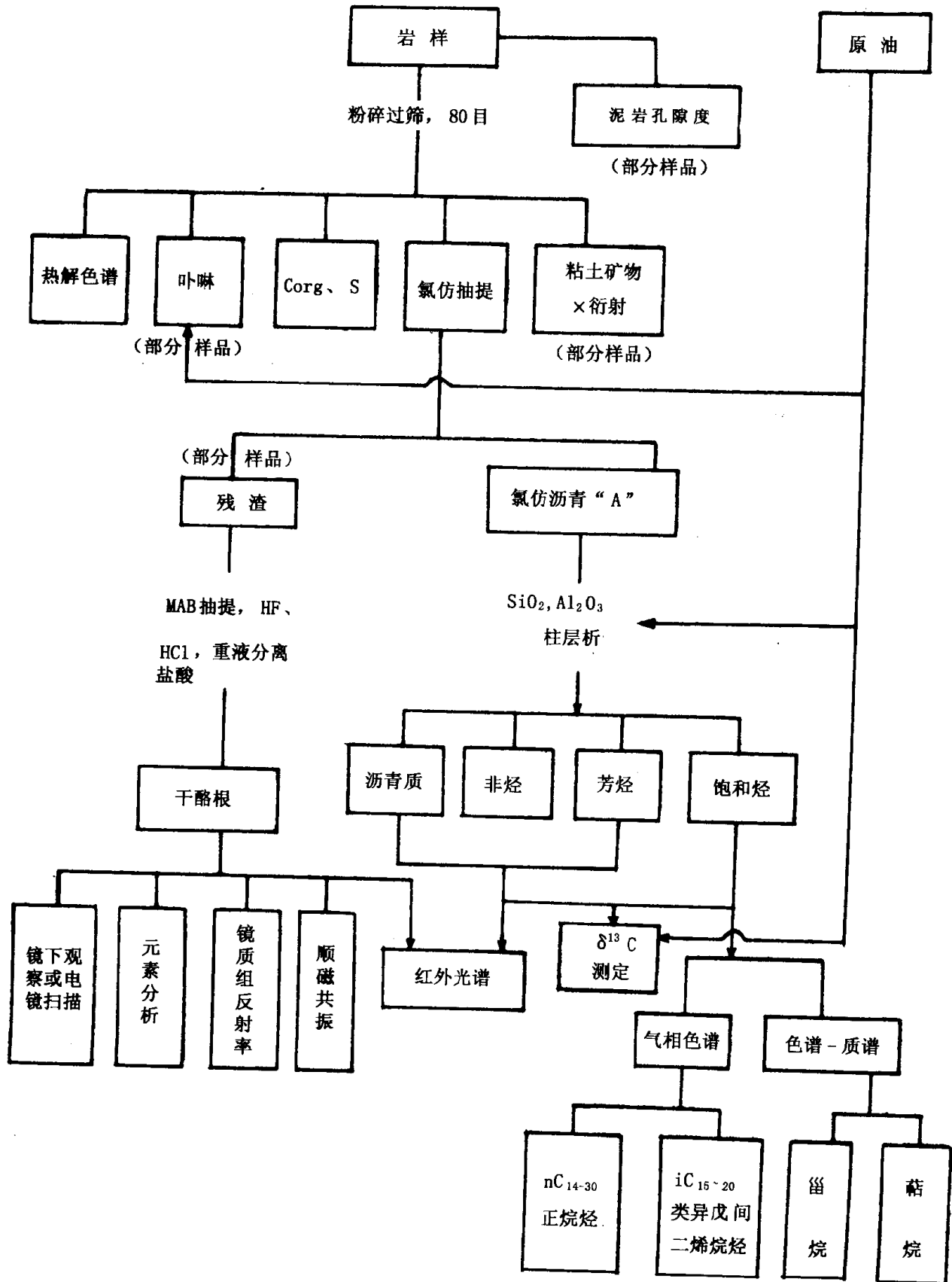


图2 冀中坳陷地球化学分析流程图

然就发现了饶阳凹陷梁村潜山高于庄组油藏，埋深 5109 ~ 5300m，产出的是密度为 0.7928g/cm³、凝固点 29℃、含蜡 26.6% 的轻质油，从而证明 178℃/5300m 的“石油窗”底界是正确的。

再例如，书中从地球化学和油气运移的角度出发，在冀中预测了 11 个油气勘探有利目标区。经过 16 年的勘探，这 11 个区带都有了突破，新增储量 2.2×10^8 t，占新带新增储量总和的 84.4%。

本书中还提出了一些不同于传统观念的观点。例如：

- 深湖相生油层不一定比浅湖相好，关键在离物源区的远近和水动力的强弱；
- “腐泥型”干酪根会“老化”、“降级”，而高等植物残体在细菌作用下也会“腐泥化”；
- 最早提出冀中晋县凹陷的未熟油不是干酪根热降解的产物，而是在盐湖特殊条件下由可溶有机质转化而成的；
- 提出了划分生油岩母质类型的三种 5 α 型甾烷组成三角图；提出了划分生油岩不同热演化阶段的“甾、萜立体化学阶梯”；
- 提出了用干酪根热降解数字模拟法计算总生油量，用氯仿沥青“A”法计算残留（生油）量，用两者之差计算排油量的资源评价方法；
- 对传统的“排油量只占生油岩中残留油量的很小一部分（10% ~ 20%）”提出了质疑，提出在砂泥岩间互、排烃通畅的条件下，排油量甚至可以大于残留油量的观点；
- 研究认为：一个好的生油凹陷，暗色泥岩不必很厚，单层厚度不必很大，有机碳含量不必很高，深湖相泥岩不必很发育，只要成熟生油层有一定厚度和面积，并且远离物源区，母质好，又是继承性凹陷，埋深足够大，成熟层位多，热演化程度较高，就能生成丰富的油气。

所有这些，都是作者极盼通过本书的公开出版，求教于广大同行的。

三

本书是在 1316 个生油岩样、90 个原油样品的系统分析基础上完成的，分析流程见图 2。冀中生油研究最初是从任丘古潜山原油的来源开始的，接着发现不同凹陷原油的地化特征明显不同，可以分类；研究工作就从已知到未知，从产物到源岩，首先从原油对比、油源分析入手，提出了问题，然后转入典型解剖，对比了成油条件很不相同的饶阳和廊固两个凹陷，将取得的认识拿到其它凹陷进行检验和补充；最后对整个冀中坳陷的生油条件进行了综合评价，计算了资源量，预测了有利区带。全书的结构，基本上反映了上述研究过程。

应当指出，由于当时的资料所限，书中未讨论石炭系煤成烃问题。1984 年以来，秦建中对此进行了专题研究^[56]。

在工作中，大庆油田研究院和北京师范大学协助分析了粘土矿物；原石油部研究院中心实验室进行了干酪根电镜扫描和碳同位素测定；中国科学院贵阳地球化学所承担了干酪根顺磁共振分析；华北油田研究院开发实验室测定了泥岩孔隙度；沉积室提供了沉积相和古生态研究成果，进行了孢粉颜色热变指数测定。其余各项有机地球化学分析，都是华北油田研究院生油室丛颖、朱维益、刘闻山、丘平、张明文、李恋、左平、毕钧、赵俊荣、秦丽莎、郭爱民、段贵银、于立正、姜俊良、蔡冰、王瑞明、潘正五、刘明先、张文龙、李江城、王忠然、张振才、刘淑珍、陈献忠、马顺平、张平、王俊林、罗开齐、于国营、江涛、武红、

王银忠、刘焕芝、郭树芝、路金宽、马建勋、王静、赵玉文等同志共同完成的。研究院计算室巢泽林、常建民同志编制了盆地模拟电算程序。伍光平、秦建忠、包永光参加了编图和计算工作。

书中汲取了华北油田研究院费宝生、刘玉英、张振才、王忠然、赵玉文、郭树芝、路金宽、段贵银、王银忠等同志历年来的生油专题研究成果。本书的执笔人是：梁狄刚（第一、第三章并统编全书）、曾宪章（第二章）、牟录文（第四章）、王雪平（第五章）、罗强（第六章）。刘宝泉在油源对比和生油岩热演化方面做了大量工作，参加了全书的讨论，提出了修改意见。史习慧、刘绍昌自始至终关心本书的编写，给予了很大支持和帮助；华北油田原总地质师吴华元、梁生正审阅了全书；在这里一并致以衷心的感谢。

目 录

第一章 原油和天然气的地球化学特征	(1)
第一节 古潜山原油“新生古储”的主要依据	(1)
第二节 三种不同类型的原油	(4)
一、坝县型	(4)
二、饶阳型	(9)
三、晋县型	(10)
第三节 三类原油的成因分析	(11)
一、原油的成熟度不同	(11)
二、母质类型不同	(13)
三、特殊的盐湖环境	(19)
第四节 三类原油的地质分布及其在勘探中的意义	(20)
第二章 油源对比	(29)
第一节 冀中六个凹陷的油源对比	(29)
一、廊坊—固安凹陷	(29)
二、坝县凹陷	(37)
三、饶阳凹陷	(44)
四、深县凹陷	(55)
五、束鹿凹陷	(58)
六、晋县凹陷	(65)
第二节 几点认识	(70)
第三节 对比指标的讨论	(71)
一、三类指标的有效性	(71)
二、指标评价	(71)
第三章 生油层	(79)
第一节 三套主要生油层	(79)
一、冀中早第三纪古湖泊的形成和发展	(79)
二、暗色泥岩的发育	(85)
第二节 生油层的有机质丰度	(89)
一、生油层分级标准	(89)
二、三套主要生油层的有机质丰度	(90)
三、有机质丰度的平面变化	(95)
第三节 几类典型的生油剖面	(97)

一、继承性下沉的浅湖相生油剖面	(97)
二、先期沉降, 后期抬升的深水湖相生油剖面	(107)
三、山前冲积平原上的古湖沼生油剖面	(118)
四、古盐湖生油剖面	(121)
五、中生代古湖沼生油剖面	(126)
六、小结	(130)
第四章 生油层的有机相	(131)
第一节 有机相的概念	(131)
一、问题的提出	(131)
二、有机相的概念	(134)
第二节 有机相的划分标志	(136)
一、沉积相	(136)
二、生物相	(136)
三、氧化还原相	(136)
四、有机质的地球化学标志	(136)
第三节 冀中拗陷主要生油层的有机相	(155)
一、有机相类型及有机相图	(155)
二、有机相在油气勘探中的作用	(159)
第五章 生油层有机质的热演化	(161)
第一节 冀中地温场的分布	(161)
一、地温的纵向变化不规则, 泥页岩段地温梯度相对较高	(161)
二、地温场的平面变化高低悬殊, 东高西低, 隆起带高, 凹陷中低	(162)
三、今地温一般大于古地温	(165)
四、小结	(167)
第二节 继承性凹陷——饶阳凹陷生油层的热演化	(167)
一、不溶有机质——干酪根的热演化	(168)
二、可溶有机质的热演化	(170)
三、热演化阶段的划分	(177)
第三节 后期抬升型凹陷——廊固凹陷生油层的热演化	(181)
一、生油层的埋藏史及最大埋深的恢复	(181)
二、沙三段(湖花介层)生油岩的热演化	(182)
三、沙四段—孔店组生油层的热演化	(185)
第四节 其它凹陷的成熟门限值	(186)
一、坝县、深县、束鹿凹陷	(186)
二、保定凹陷	(188)
三、晋县、南宫凹陷	(188)
四、石家庄、北京、丘县凹陷	(189)

第五节 冀中拗陷成熟生油层的分布	(190)
一、成熟面的分布	(190)
二、各组段成熟生油层的分布	(193)
三、高成熟区——成气区的分布	(196)
第六节 主要生油层的成油期与排烃期	(196)
一、不同凹陷、不同生油层的成油期	(196)
二、泥岩压实与大量排烃深度的确定	(199)
第七节 问题讨论	(201)
一、关于“液态石油死亡线”	(201)
二、不同母质类型生油岩的热演化特征	(201)
三、冀中拗陷原油的热演化序列	(203)
四、101℃/2800m的成熟门限值在渤海湾地区有一定代表性	(205)
第六章 资源评价	(206)
第一节 评价方法	(206)
一、改进沥青“A”法参数的取值	(206)
二、对蒂索法温度参数的非线性处理	(206)
三、对蒂索法计算生气量公式的应用作了改进	(207)
四、抬升区的模拟	(208)
第二节 盆地模拟参数	(209)
一、成熟生油层体积	(209)
二、埋藏史参数	(210)
三、地质时间	(210)
四、地温史参数	(212)
五、干酪根类型	(212)
六、干酪根含量	(212)
七、氯仿沥青“A”含量	(212)
第三节 评价步骤	(214)
第四节 评价结果	(220)
第五节 廊固、饶阳两个凹陷的勘探成效为什么这样不同?	(225)
结束语	(228)
参考文献	(230)

第一章 原油和天然气的地球化学特征

冀中拗陷油气生成的直接产物，是丰富多彩、各种各样的原油和天然气。这里既有甲烷含量高达 98% 的纯气藏和凝析油藏，也有高密度、高硫、高胶质沥青质的重质稠油，还有含量高达 95% 的 H_2S 气藏。油气地化性质本身，能够提供大量关于生油层成熟度、母质和环境的信息。近 20 年来数以百计各种生油指标的提出，主要是建立在对石油本身越来越深入的解剖基础上，然后把生油层同它作比较。所以，我们就从油气分析入手，讨论冀中拗陷油气的生成。

第一节 古潜山原油“新生古储”的主要依据

冀中拗陷探明油气储量的 62%（截至 1999 年底），尽管产自海相下古生界、中上元古界古潜山碳酸盐岩之中，但是原油地化特征同下第三系原油基本一致，具备典型陆相原油的特点，来源于陆相下第三系生油层，我们把它叫做“新生古储”。

“新生古储”的地质依据是：冀中拗陷含油的古潜山都同下第三系陆相暗色泥岩或以断面、或以超覆不整合面直接、间接相接触；凡不具备这一条件的古潜山，一般都不含油。

这里有正、反两个典型实例：一个是饶阳凹陷中部的任丘潜山，它的主体部分由中上元古界雾迷山组硅质白云岩组成，裂缝孔洞十分发育，成为良好的储集体。它的西侧通过落差达 3300m 的任丘断层，与下第三系渐新统沙河街组 E_{s1} 、 E_{s3} 段暗色泥岩直接相接触，面积达 90km^2 ；它的东侧通过下第三系与奥陶、寒武系和雾迷山组之间的超覆不整合面，也可同 E_{s3} 段暗色泥岩相接触，面积达 450km^2 。这样一来，油气就可在西侧沿断面、在东侧沿超覆不整合面源源不断进入潜山储集体，形成山头块状油藏和山坡层状油藏相复合的任丘大型潜山油气藏（见图 1-1 (a)）。

相反的例子是不含油的肃宁潜山。它同任丘潜山相似，都是位于饶阳凹陷中心，储集体也都是雾迷山组白云岩；不同的是，潜山山头和山坡被 E_{s4} — E_k 组红层所覆盖，厚达 1000~1500m 的红层将 E_{s3} 段和 E_{s1} 段暗色泥岩同潜山隔开；另外，潜山西侧断层的断距只有数百米，小于红层厚度；这条断层后期活动又很微弱，断不开红层，沟通不了下第三系暗色泥岩与潜山储集体。所以，肃宁潜山尽管位于冀中最好的生油凹陷中心，也没能获得油气（见图 1-1 (b)）。

“新生古储”的地球化学依据如下：

(1) 古潜山原油高蜡（7.31%~25.6%）、低硫（0.02%~0.48%），与下第三系陆相原油基本一致，而与海相原油的低蜡、高硫明显不同。例如我国四川盆地古生界海相石灰岩中的原油，含蜡量为 2.7%，含硫量 $>7\%$ 。

(2) 任丘古潜山原油的孢粉组合（图 1-2），与陆相下第三系沙河街组地层的孢粉相同。根据 4 口井 227 粒孢粉化石的鉴定结果^[1]，95% 以上的孢粉均属早第三纪常见分子，其中菌类和藻类占孢粉总数 50% 以上。藻类中主要有粒面球藻、皱面球藻、光面球藻等沙一段常见化石，还有皱面渤海藻、副渤海藻、盘星藻等沙二、三段常见化石；菌类孢子中主要有颗粒无孔单胞孢、披针无孔多胞孢、蠕形无孔多胞孢、锥形无孔多胞孢等；裸子植物花粉

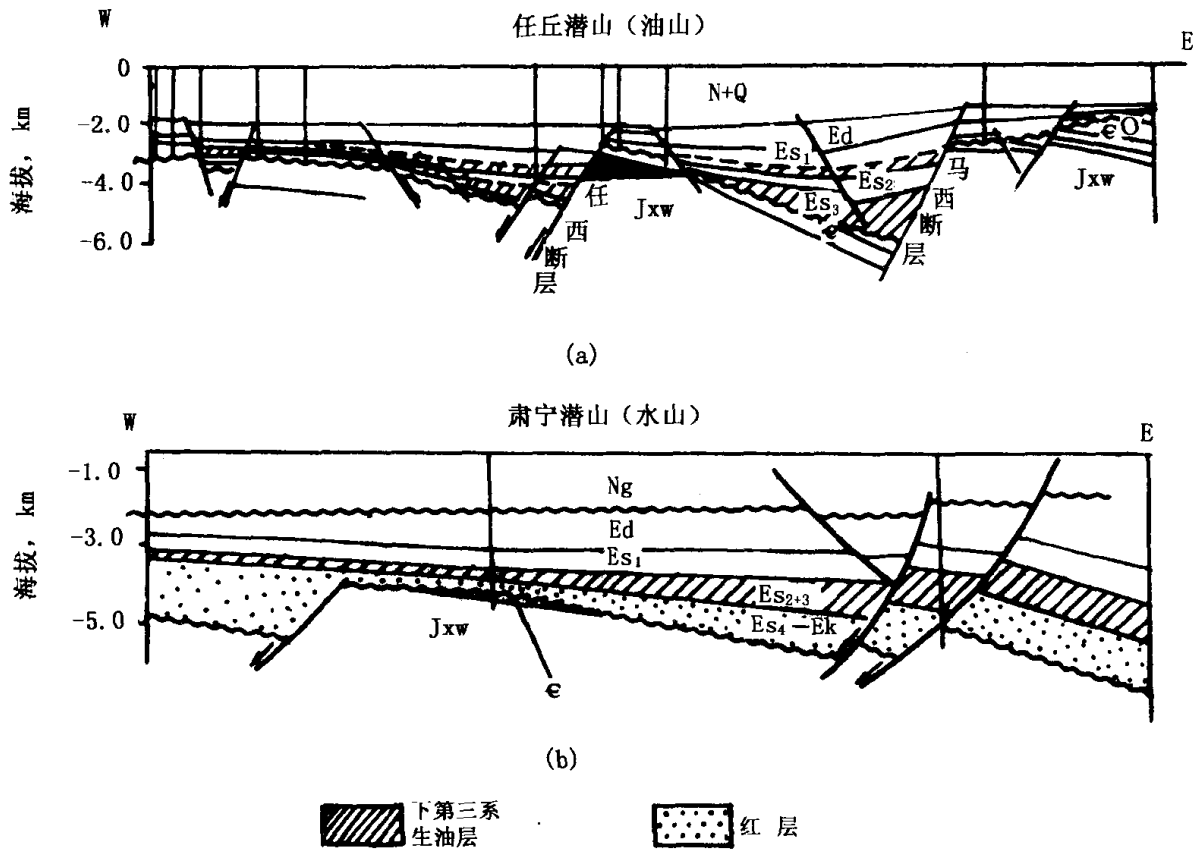


图 1-1 冀中坳陷含油与不含油潜山油源条件的比较

主要有松粉、皱球粉、破隙杉科粉、大拟落叶松粉等；被子植物花粉主要有栎粉和榆粉。在全部 227 粒孢粉中，只在两口井见到 5 粒上元古界近似小雾迷山糙面球藻。潜山原油中早第三纪孢粉化石占了绝对优势，而上元古界化石十分罕见，足以证明任丘潜山的油源来自下第三系陆相沙河街组。

(3) 古潜山原油中的卟啉化合物主要是镍卟啉 ($0.75 \sim 31.75 \mu\text{g/g}$)，数量级与陆相沙河街组原油 ($2.5 \sim 62.5 \mu\text{g/g}$) 相近；钒卟啉未检出。原油的 $V/Ni < 1$ ($0.08 \sim 0.82$)，也是陆相原油的特点 (见图 1-3)。

(4) 冀中古潜山原油的稳定碳同位素 $\delta^{13}\text{C}$ 为 $-28.22\text{‰} \sim -29.12\text{‰}$ ；下第三系陆相原油的 $\delta^{13}\text{C}$ 为 $-27.78\text{‰} \sim -28.86\text{‰}$ ；16 个陆相沙河街组—孔店组生油岩氯仿沥青“A”的 $\delta^{13}\text{C}$ 为 $-26.8\text{‰} \sim -29.48\text{‰}$ ，平均为 -28‰ 左右。从图 1-4 中可以看出，它们之间十分相近，并且同松辽盆地下白垩统陆相原油 ($\delta^{13}\text{C} = -27.1\text{‰} \sim -29\text{‰}$) 也很一致。这就充分说明：冀中古潜山原油与第三系陆相原油同源，都是来自下第三系陆相生油层。另一方面，它们的碳同位素值既不同于华北地区下古生界一中、上元古界海相碳酸盐岩原生油苗和抽提物 ($\delta^{13}\text{C} = -30\text{‰} \sim -35\text{‰}$) 又不同于华南四川三叠系海相原油 δ ($\delta^{13}\text{C} = -29.2\text{‰} \sim -32.3\text{‰}$)。更重要的是，潜山原油与组成潜山的 Jxw 组白云岩抽提物的 $\delta^{13}\text{C}$ 值 (-35.02‰) 相差达 -6‰ 之多，表明它们之间没有亲缘关系 (见图 1-4)。

(5) 作为反证的是，冀中廊固、坝县和深县古潜山寒武、奥陶系原油的 Pr/Ph 都大于 1.6 ($1.66 \sim 2.70$)，类异戊间二烯烷烃轻重比 $\frac{i\text{C}_{15+16+18}}{i\text{C}_{19} + i\text{C}_{20}} > 0.4$ ($0.44 \sim 2.23$)；与此相反，



图 1-2 任丘油田潜山原油中的早第三纪孢粉化石照片

组成潜山的寒武、奥陶系碳酸盐岩，Pr/Ph 都小于 1 (0.14 ~ 0.74, 个别为 1.16), $\frac{iC_{15+16+18}}{iC_{19} + iC_{20}}$ 则小于 0.4 (0.12 ~ 0.37), 与潜山原油差别很大。饶阳凹陷潜山原油与组成潜山的碳酸盐岩 Pr/Ph 虽然相近, 但正烷烃分布却明显不同——原油主峰碳数为 C_{22} 或 C_{23} ; 碳酸盐岩抽提物的正烷烃则多数在 C_{17} 或 C_{19} , 并且在 C_{27} 、 C_{29} 或 C_{25} 出现一个高碳数后峰群, 有的甚至超过了前主峰。所有这些都说明: 古潜山原油与潜山碳酸盐岩之间, 没有明显的亲

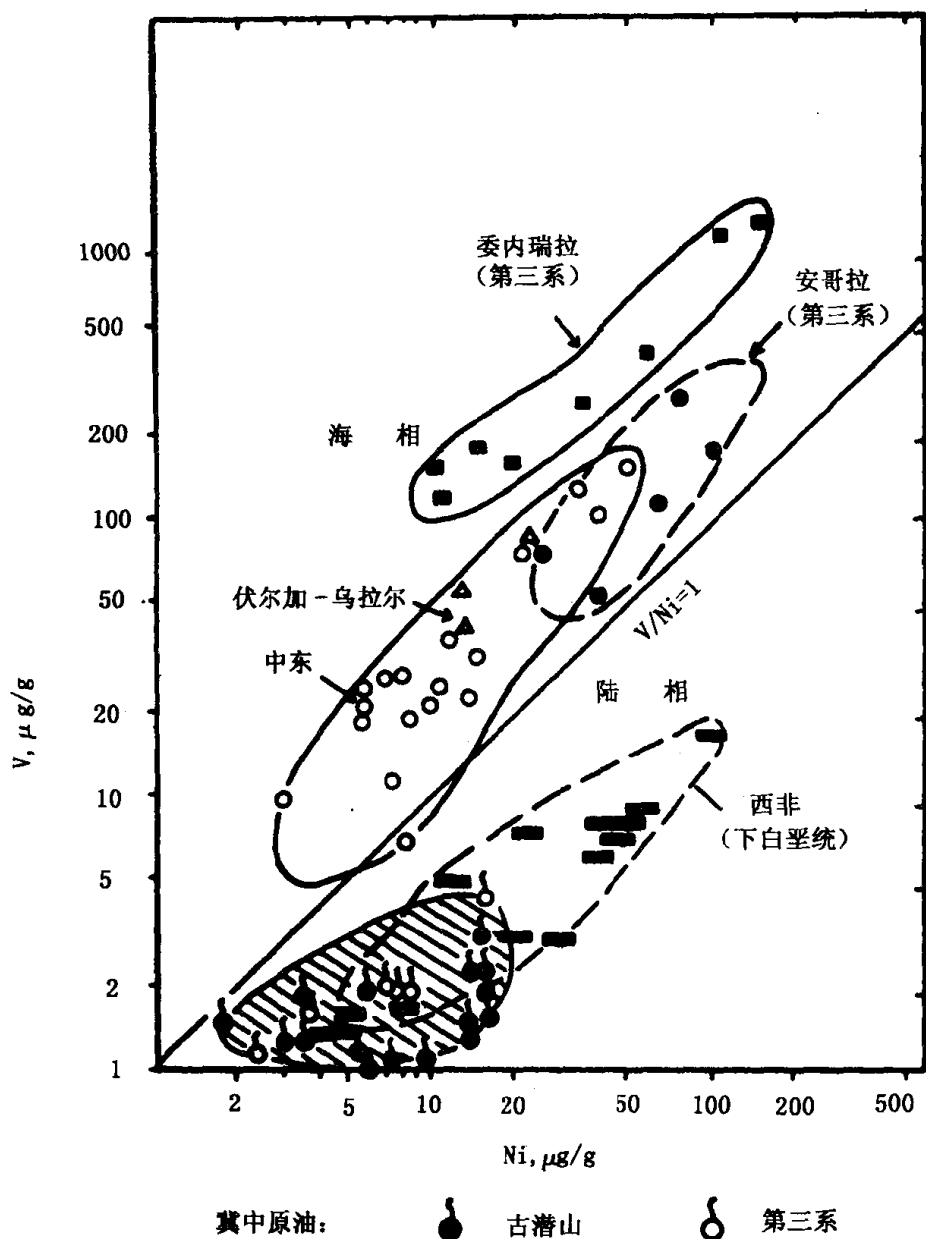


图 1-3 冀中潜山和第三系原油的钒、镍含量分布

缘关系。

这样一来，研究冀中坳陷油气的生成，实际上就是研究下第三系陆相油气的生成；寻找古潜山油气田，首先就要圈定下第三系油源区。

第二节 三种不同类型的原油

冀中坳陷中上元古界、下古生界和上、下第三系 24 个组段的原油，按其地球化学特征，可以明显分为三种类型（见图 1-5 及表 1-1）。

一、坝县型

这种原油的分类标志主要有两个：

- (1) 姥鲛烷多于植烷， $Pr/Ph > 1$ ，其中少数第三系原油 > 0.7 ；

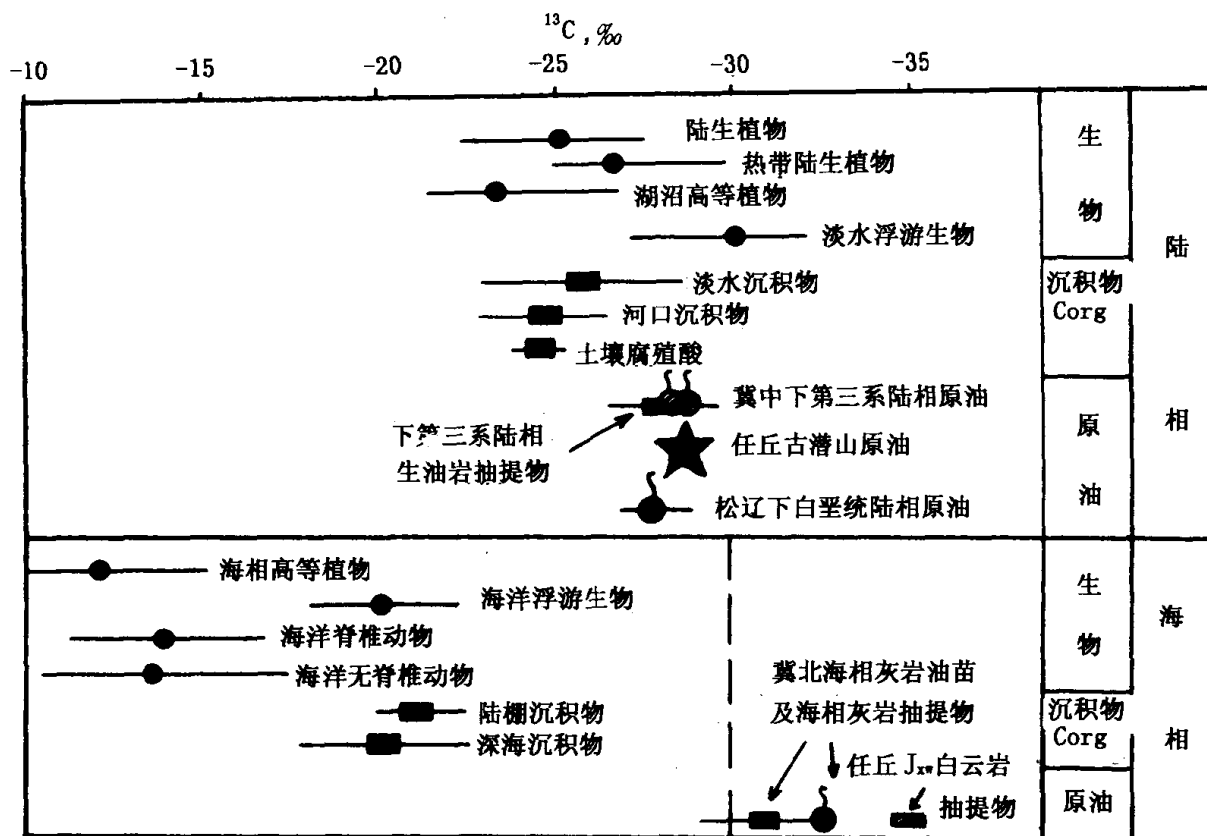


图 1-4 海相与陆相生物、沉积物有机质和原油的 $\delta^{13}\text{C}$ 值

表 1-1 冀中坳陷三种类型原油的地球化学划分标志

分类标志		坝县型	饶阳型	晋县型
正烷烃	碳数分布曲线形态 主峰碳数	单峰型 C_{15} 或 C_{17}	双峰型 主峰 $\text{C}_{22,23}$; 次主峰 $\text{C}_{17,18}$	偶碳优势 C_{14} (或 C_{18})
	$\text{C}_{21}/\text{C}_{22}$	一般范围 中值 >1 1.33 (44)	<1 0.86 (46)	>1 1.37 (4)
类异戊间二烯烷烃	姥鲨烷 植烷	一般范围 中值 >1 1.49	<1 0.48	<0.4 0.23
	$\frac{i\text{C}_{15}+i\text{C}_{16}+i\text{C}_{18}}{i\text{C}_{19}+i\text{C}_{20}}$	一般范围 中值 >0.5 0.70	<0.5 0.29	<0.33 0.16
	$\frac{\sum i^*}{\sum n} \%$	一般范围 中值 <16 11.40	>16 24.56	41 (1)
	$\text{Ph}/n\text{C}_{18}$	一般范围 中值 <0.8 0.35	>0.8 1.82	1.13~2.58 1.97
环烷烃	萘 烷	$\frac{\gamma\text{-蜡烷}}{\text{C}_{31}\text{Hop.}/2}$	多数不含 γ -蜡烷; 少数油样比值 <0.5	γ -蜡烷丰富; 比值 >0.5 , 中值=1 (41)
	甾 烷	重排甾烷 $5\alpha (\text{C}_{27} + \text{C}_{28} + \text{C}_{29})$	重排甾烷多, 中值 0.87 (34)	重排甾烷少, 中值 0.19 (42)
		$\frac{5\alpha\text{-C}_{27}\text{st.}}{5\alpha\text{-C}_{29}\text{st.}}$	多数 ≤ 1 , 中值 0.91 (34)	多数 > 1 , 中值 1.11 (44)
		4-甲基甾烷	多	无或极少
镍卟啉 ($\mu\text{g/g}$)	最大值 中值	41.5 3.12	62.5 14.5	未 测

续表

分类标志		坝县型	饶阳型	晋县型	
微量元素	Ni μg/g	一般范围 中值 ≤3.5 1.1	5~15 7.5	14~8.4	
	V/Ni	一般范围 中值 ≥0.4 0.73	≤0.42 0.15	0.2~2.0	
芳烃红外光谱	两类初级 H 原子吸收峰强度		746>816 (cm ⁻¹)	746≤816 (cm ⁻¹)	746≥816 (cm ⁻¹)
	芳烃结构指数 816/746 (cm ⁻¹)	一般范围 中值	0.68~0.97 (20) 0.87	0.93~1.11 (11) 1.00	0.89~1.07 (3) 0.93
	芳烃“取缩比” 1380/746 (cm ⁻¹)	一般范围 中值	0.90~1.52 1.18	1.50~2.16 1.77	1.73~2.58 2.11
族组成	饱和烃 (%)	第三系原油 潜山原油	63.64 (22) 74.60 (13)	53.19 (22) 63.53 (20)	22.47 (1) /
	非烃+沥青质 (%)	第三系原油 潜山原油	19.37 11.88	29.26 20.10	32.66 /
油气物化性质	原油	d_4^{20} S 含量 (%)	<0.85 <0.1	>0.85 >0.1	>1 >1
	天然气	相对密度 CH ₄ 含量 (%) iC ₄ /nC ₄ H ₂ S+CO ₂ (%)	<0.75 >70 >0.6 <5	>0.75 <70 <0.6 >5	0.9~1.77 <70 <0.6 H ₂ S 高达 95%

注：括号内数字系样品数。

$$\bullet \sum i / \sum n = \frac{iC_{15-20}}{nC_{14-30}} \%$$

(2) 正烷烃分布呈单峰型，主峰为 C₁₇ 或 C₁₅、C₁₄。

其它标志还有：

(1) 五种类异戊间二烯烷烃总量相对较低， $\sum i / \sum n$ 普遍 < 20%，多数 < 16%（见图 1-6、图 1-7）；Ph/nC₁₈ < 1，绝大多数 < 0.8（图 1-8）；与此同时，低碳数的法呢烷（iC₁₅）、异 16 烷（iC₁₆）和降姥鲛烷（iC₁₈）相对含量高， $\frac{iC_{15+16+18}}{iC_{19}+iC_{20}} > 0.5$ （图 1-7），最大可达 3.08。

(2) 正烷烃轻重比大，C₂₁⁻/C₂₂⁻ 普遍大于 1，凝析油可高达 5.37。

(3) 环烷烃组成中，重排甾烷较多，γ-蜡烷含量甚微，4-甲基甾烷往往很明显，5α-C₂₉（豆、谷甾烷）多数 ≥ 5α-C₂₇（胆甾烷），陆生植物标记奥利烷（Oleanane）时有发现（见图 1-5、图 1-9）。

(4) 原油中镍卟啉含量低，一般小于 10 μg/g，并有近 1/3 油样不含镍卟啉；与此相应，原油灰分中 Ni 含量也低，一般小于 3.5 μg/g，V/Ni > 0.4。

(5) 原油中饱和烃含量高，潜山原油 > 70%，第三系原油 > 50%；非烃+沥青质含量

$$\bullet \sum i / \sum n = iC_{15-20} / nC_{14-30} \%$$